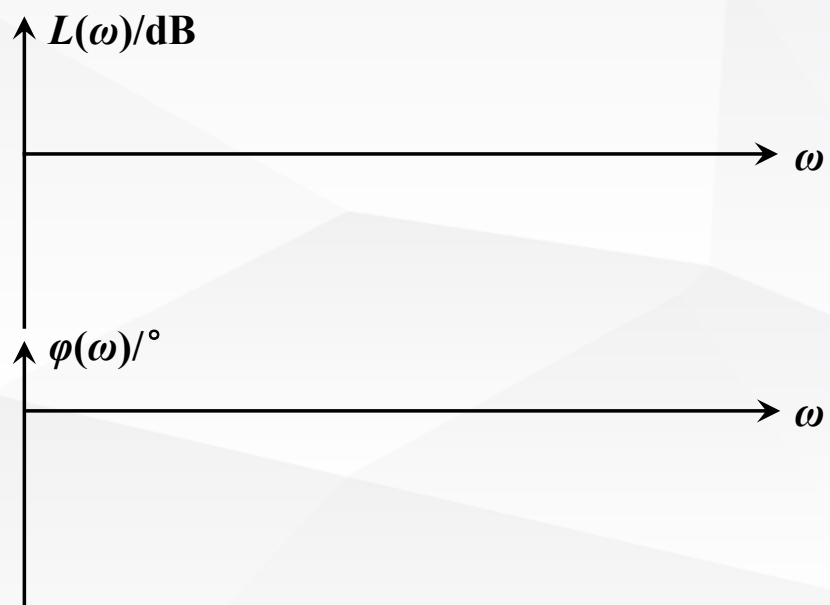
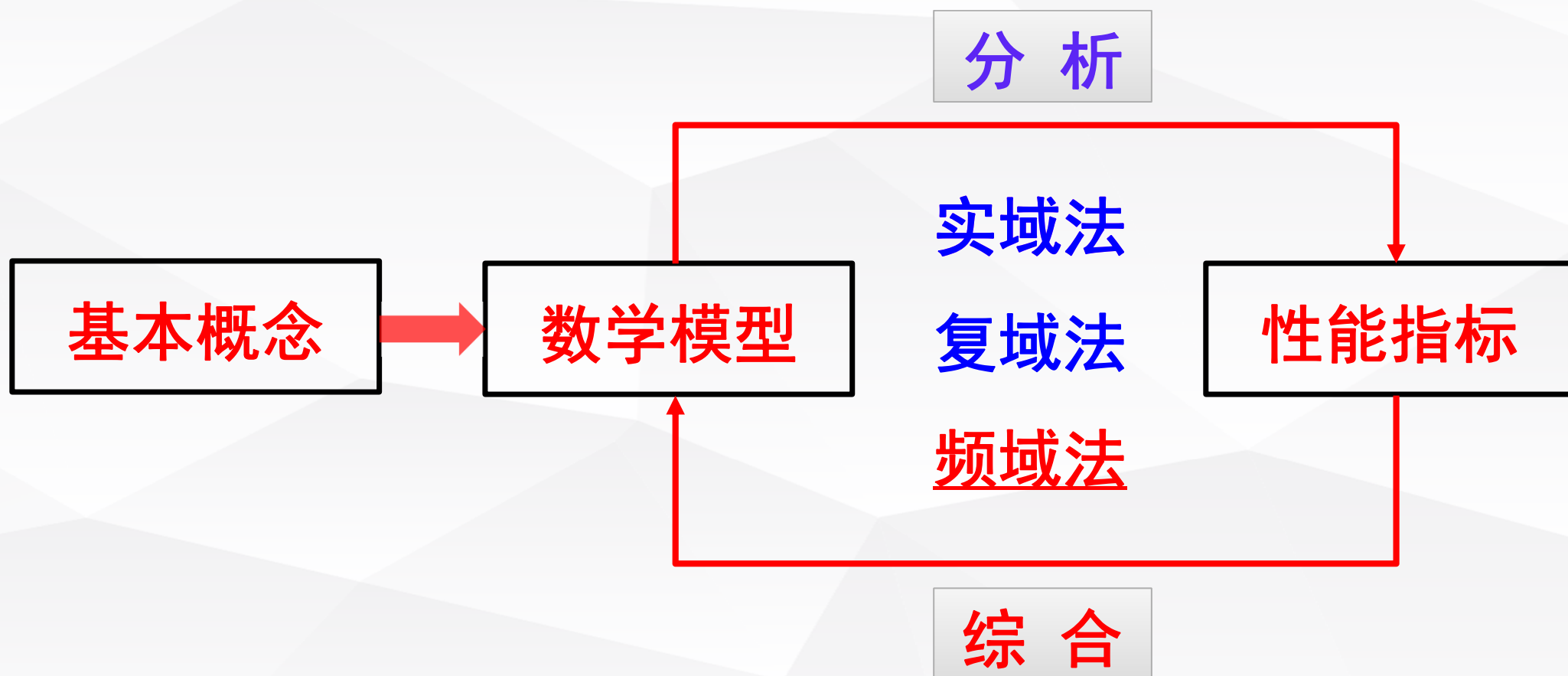


第十讲



本课程知识体系脉络图



第五章：控制系统的频域分析与综合

§ 5.1 频率响应法的基本概念

§ 5.2 频率特性图的绘制

§ 5.3 奈奎斯特判据

§ 5.4 稳定裕量

§ 5.5 控制系统性能的频率响应分析

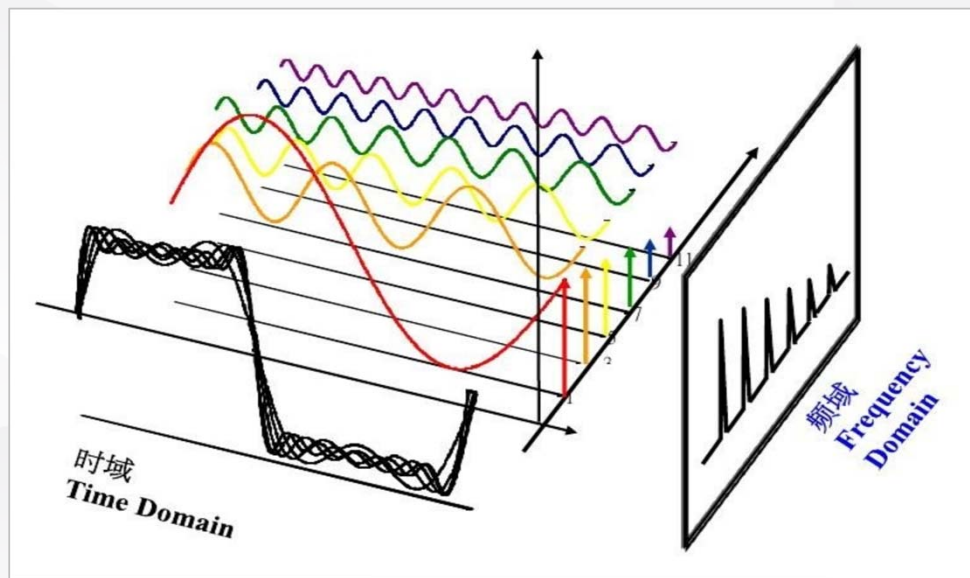
§ 5.6 控制系统的频率响应综合

§ 5.7 利用MATLAB绘制系统的频率特性图

§ 5.1 频率响应法的基本概念

频域和时域的关系：

对于稳定的线性因果系统：若输入量为正弦信号，则系统的稳态输出必为同频率（ ω ）的正弦信号，改变的只有幅值（ A ）和相位（ φ ）。



频域时域关系示意图

- 任意周期输入信号满足满足狄利克莱条件，则傅里叶变换存在；
- 任意非周期输入信号满足满足狄利克莱条件①②并在无穷时域内绝对可积，则傅里叶变换存在；
- 任意正弦信号可以由频率 ω 、幅值 A 和相位 φ 唯一确定。

§ 5.1 频率响应法的基本概念

频率特性的物理意义：

频率特性描述了在不同频率下系统传递正弦信号的能力

频率响应法的基本思想和物理意义：

- **基本思想：**将控制系统变量视为信号，每一个信号通过傅里叶分解可视为由不同频率的正弦信号所合成，线性系统各**变量的运动**就是系统对各**不同频率信号**响应叠加的结果。
- **物理意义：**控制系统的运动就是信号沿各个相关环节传递和变换的过程：每个信号含有不同频率的正弦分量，这些不同频率的正弦信号在不同环节的传递和变换过程中，其**振幅和相位的变化规律不同**，从而产生不同形式的运动。

§ 5.1 频率响应法的基本概念

频率响应的定义：

线性系统在输入正弦信号时，其稳态输出随着频率（ $\omega=0 \rightarrow +\infty$ ）变化的规律，称为该系统的频率响应。

正弦输入信号的频率响应：

线性系统在输入正弦信号 $u(t)=X\sin\omega t$ 时，稳态输出与输入是同频率正弦信号：

- ① 输出正弦信号与输入正弦信号的幅值之比为频率特性 $G(j\omega)$ 的幅值 $|G(j\omega)|$ ，
称为幅频特性；
- ② 输出正弦信号与输入正弦信号的相位之差是频率特性 $G(j\omega)$ 的相位 $\angle G(j\omega)$ ，
称为相频特性；
- ③ 频率特性函数 $G(j\omega)=|G(j\omega)|\angle G(j\omega)$ ，可见 $G(j\omega) \mid j\omega \rightarrow s$ 。

设稳定 n 阶系统的传递函数为：

$$\Phi(s) = \frac{Y(s)}{R(s)} = \frac{M(s)}{(s+p_1)(s+p_2)\cdots(s+p_n)}$$

不妨假设所有极点为互异负实数单根。当输入信号为 $r(t)=X\sin\omega t$ 时，有

$$R(s) = \frac{X\omega}{s^2 + \omega^2} = \frac{X\omega}{(s+j\omega)(s-j\omega)}$$

则输出信号的拉普拉斯变换为：

$$Y(s) = \frac{M(s)}{(s+p_1)(s+p_2)\cdots(s+p_n)} \frac{X\omega}{(s+j\omega)(s-j\omega)} = \frac{Y_1}{s+p_1} + \frac{Y_2}{s+p_2} + \cdots + \frac{Y_n}{s+p_n} + \frac{Y_-}{s+j\omega} + \frac{Y_+}{s-j\omega}$$

当 $t \rightarrow \infty$ 时，闭环极点对应的自由响应全部为零，故稳态响应为：

$$y_s = \lim_{t \rightarrow \infty} y(t) = Y_- e^{j\omega t} + Y_+ e^{-j\omega t}$$

其中

$$Y_- = \Phi(s) \frac{X\omega}{(s+j\omega)(s-j\omega)} (s+j\omega) \Big|_{s=-j\omega} = -X \frac{\Phi(-j\omega)}{2j} = -X \frac{|\Phi(-j\omega)|}{2j} e^{j\angle\Phi(-j\omega)}$$
$$Y_+ = \Phi(s) \frac{X\omega}{(s+j\omega)(s-j\omega)} (s-j\omega) \Big|_{s=j\omega} = X \frac{\Phi(j\omega)}{2j} = X \frac{|\Phi(j\omega)|}{2j} e^{j\angle\Phi(j\omega)}$$

系统的稳态响应为：

$$y_s = X \frac{|\Phi(j\omega)|}{2j} \left[e^{j\omega t} e^{j\angle\Phi(j\omega)} + e^{-j\omega t} e^{-j\angle\Phi(j\omega)} \right]$$
$$= X |\Phi(j\omega)| \sin[\omega t + \angle\Phi(j\omega)]$$

§ 5.1 频率响应法的基本概念

频率响应法的特点：

- ①物理意义鲜明；
- ②可以用实验的方法测出系统的频率特性，求得传递函数或其他形式的数学模型，对于难于机理建模的复杂系统更有意义；
- ③图解方法：形象直观，计算量小；
- ④仅适用于线性定常系统，且是一种近似方法。

§ 5.2 频率响应的图示方法

幅相频率特性图（极坐标图，奈奎斯特（Nyquist）图）

以频率 ω 为自变量，系统频率特性 $G(j\omega)$ 的幅值 $A(\omega)=|G(j\omega)|$ 和相位 $\varphi(\omega)=\angle G(j\omega)$ 关系图称为幅相频率特性图。

考虑一阶系统：

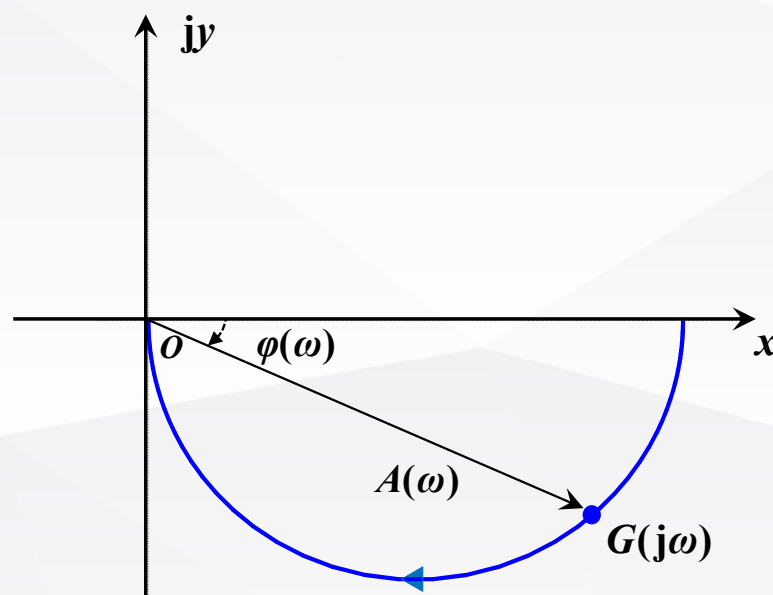
$$G(s) = \frac{1}{Ts + 1}, \quad T > 0$$

幅频特性为：

$$A(\omega) = \frac{1}{\sqrt{T^2\omega^2 + 1}}$$

相频特性为：

$$\varphi(\omega) = -\arctan \omega T$$



一阶系统奈奎斯特图

§ 5.2 频率响应的图示方法

对数频率特性图(伯德(Bode)图)

将系统频率特性表示在对数坐标中，可绘制在对数幅频特性和对数相频特性图，称为幅相频率特性图。**特别注意：**

- 1、**Bode**图由对数幅频特性和对数相频特性两条曲线组成。
- 2、对数幅频特性是 $G(j\omega)$ 的对数值 $20\lg |G(j\omega)|$ 与频率 ω 的关系曲线；
对数相频特性则是相位 $\varphi(\omega)$ 与频率 ω 的关系曲线。
- 3、**Bode**图是在半对数坐标纸上：
横坐标采用对数刻度 $\lg\omega$ ；
纵坐标采取均匀刻度。
- 4、采取相同的频率横坐标。

§ 5.2 频率响应的图示方法

对数频率特性图(伯德(Bode)图)

5、绘制Bode图时，特别注意对数刻度的特点！

- 在频率轴上标的是频率 ω 实际值，但是横坐标是按照其常用对数 $\lg\omega$ 来刻度的！坐标上任意两点 ω_1 和 ω_2 之间 ($\omega_1 < \omega_2$) 距离为 $\lg\omega_2 - \lg\omega_1$ ，不是 $\omega_2 - \omega_1$ ！横坐标上两对频率之间的距离相等，表示其比值相等！
- 频率 ω 每变化10倍称为一个十倍频程，记作dec。每个dec沿横坐标走过的间隔为一个单位长度。
- 对数幅频特性的纵坐标为 $L(\omega) = 20\lg|G(j\omega)|$ ，称为对数幅值，单位分贝是(dB)，采用线性刻度， $|G(j\omega)|$ 每增大10倍，对数幅值 $L(\omega)$ 增加20dB；对数相频特性的纵坐标为相位 $\varphi(\omega)$ ，单位为度，采用线性刻度。

§ 5.2 频率响应的图示方法

考虑一阶系统：

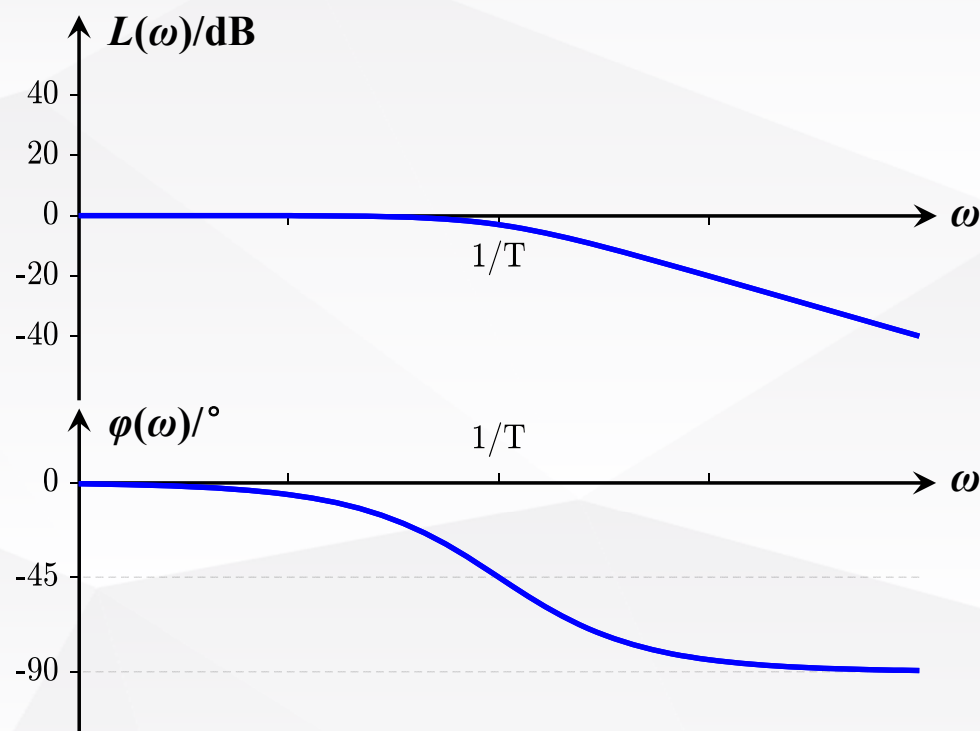
$$G(s) = \frac{1}{Ts + 1}, \quad T > 0$$

其对数幅频特性为：

$$\begin{aligned} A(\omega) &= 20 \lg \frac{1}{\sqrt{T^2 \omega^2 + 1}} \\ &= -20 \lg \sqrt{T^2 \omega^2 + 1} \\ &= -10 \lg(T^2 \omega^2 + 1) \end{aligned}$$

其对数相频特性为：

$$\varphi(\omega) = -\arctan \omega T$$



一阶系统Bode图

§ 5.2 频率响应的图示方法

Bode图与极坐标图对比

- 可以在很宽的频率范围内观察系统的频率特性;
- 简化作图;
- 频率特性的纵向放大和缩小可化成Bode图曲线的上下平移;
- 频率特性的横向压缩和伸长可化成Bode图曲线的左右平移;
- 频率特性的倒数关系可化成Bode图曲线关于频率轴对称。

§ 5.3 频率特性的绘制

典型环节的频率特性

n 阶控制系统的频率特性可视为基本环节频率特性组合而成

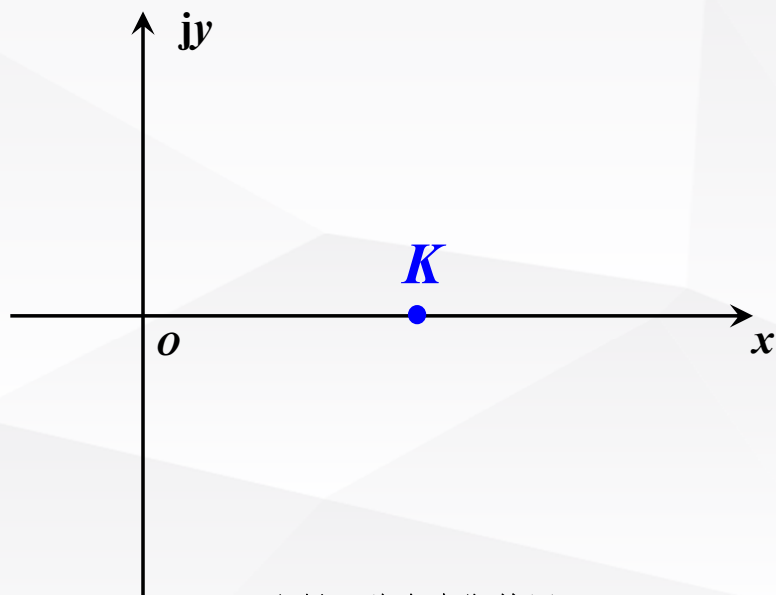
$$G(s) = K \frac{\prod_{k=1}^{m_1} (\tau_k s + 1) \prod_{l=1}^{m_2} (\tau_l^2 s^2 + 2\zeta \tau_l s + 1)}{s^v \prod_{i=1}^{n_1} (T_i s + 1) \prod_{j=1}^{n_2} (T_j^2 s^2 + 2\xi T_j s + 1)} e^{-\tau s}$$

包括：比例环节、积分环节、微分环节、一阶惯性环节、一阶微分环节、二阶振荡环节、二阶微分环节、延迟环节。

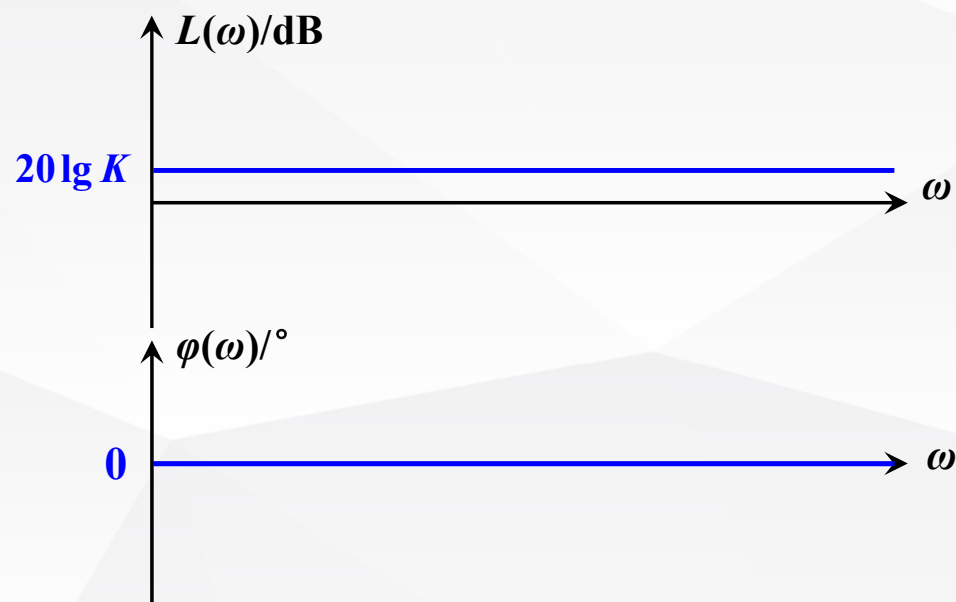
§ 5.2 频率特性的绘制

比例环节

传递函数: $G(s) = K$ 频率特性: $G(j\omega) = K$



比例环节奈奎斯特图

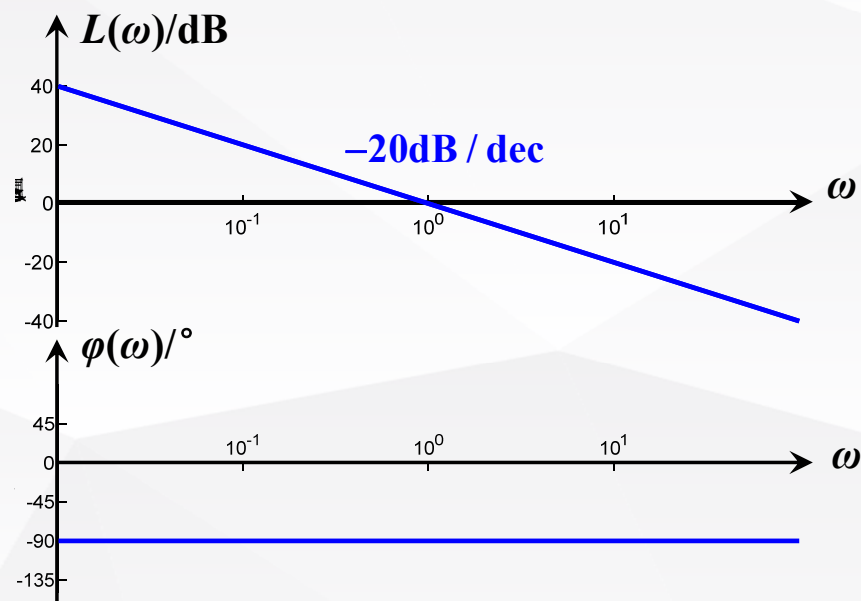
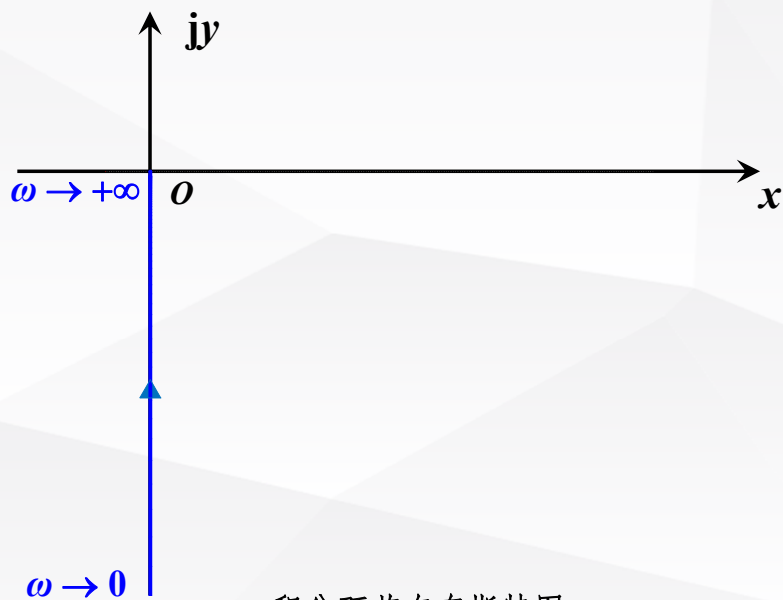


比例环节Bode图

§ 5.2 频率特性的绘制

积分环节

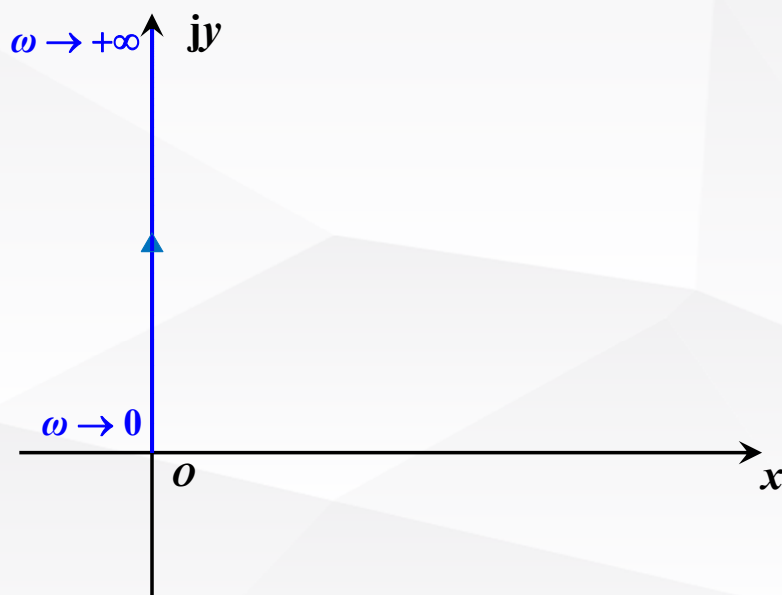
传递函数: $G(s) = \frac{1}{s}$ 频率特性: $G(j\omega) = \frac{1}{j\omega} = \frac{1}{\omega} e^{-j\frac{\pi}{2}}$



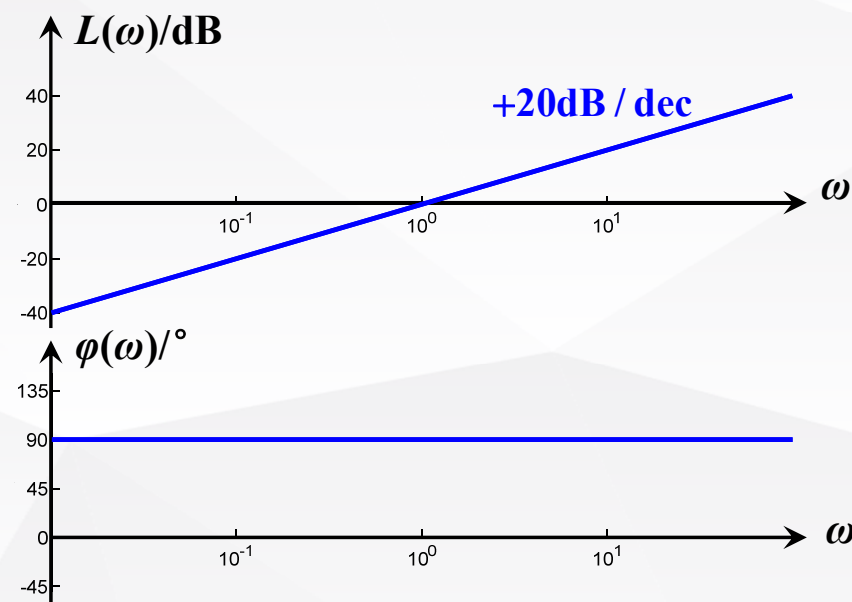
§ 5.2 频率特性的绘制

微分环节

传递函数: $G(s) = s$ 频率特性: $G(j\omega) = j\omega = \omega e^{j\frac{\pi}{2}}$



微分环节奈奎斯特图

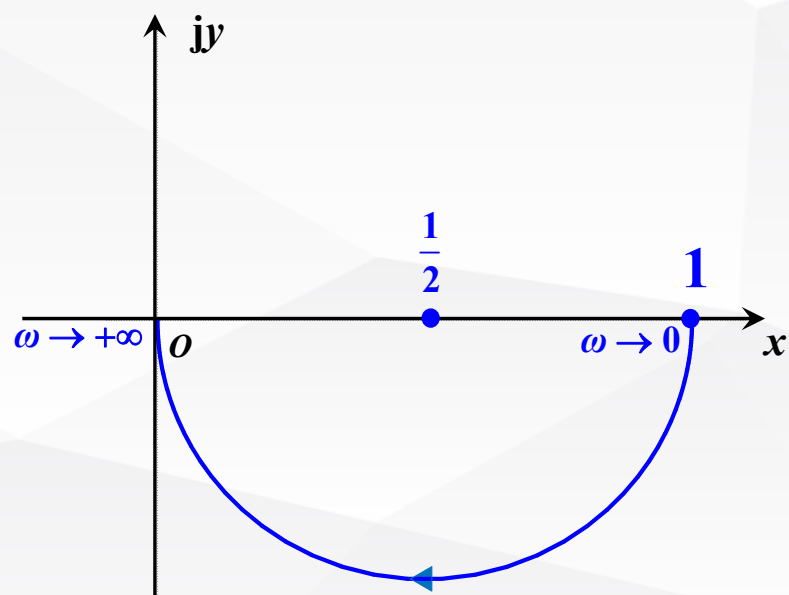


微分环节Bode图

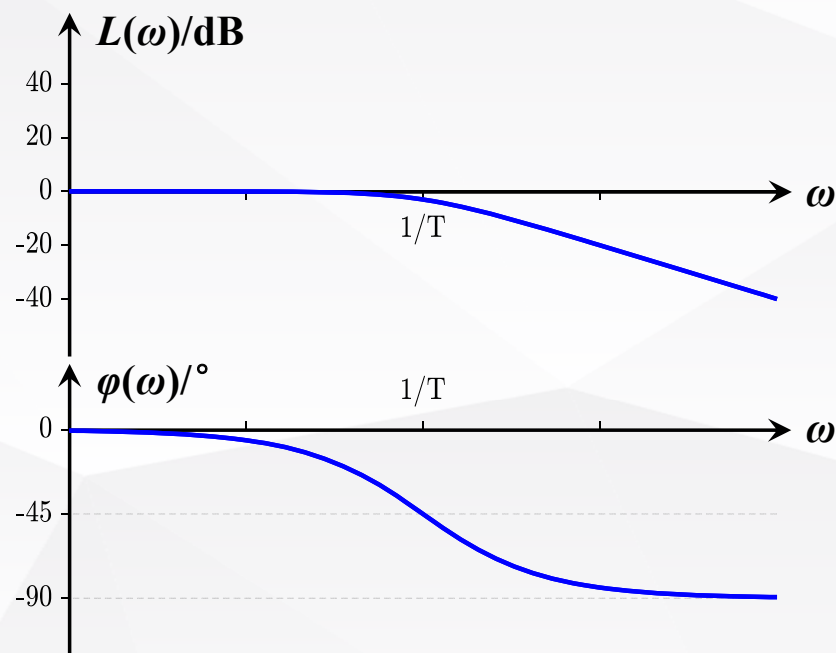
§ 5.2 频率特性的绘制

一阶惯性环节

传递函数: $G(s) = \frac{1}{Ts + 1}$ 频率特性: $G(j\omega) = \frac{1}{j\omega T + 1} = \frac{1}{\sqrt{T^2\omega^2 + 1}} e^{-j \arctan \omega T}$



一阶惯性环节奈奎斯特图

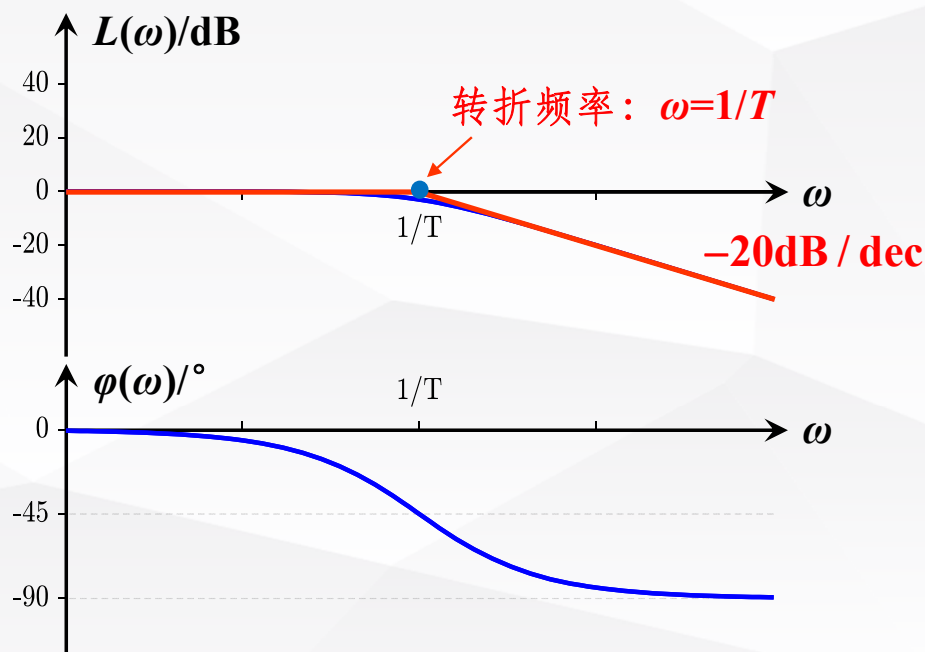


一阶惯性环节Bode图

§ 5.2 频率特性的绘制

一阶惯性环节

传递函数: $G(s) = \frac{1}{Ts + 1}$ 频率特性: $G(j\omega) = \frac{1}{j\omega T + 1} = \frac{1}{\sqrt{T^2\omega^2 + 1}} e^{-j \arctan \omega T}$



一阶惯性环节Bode图

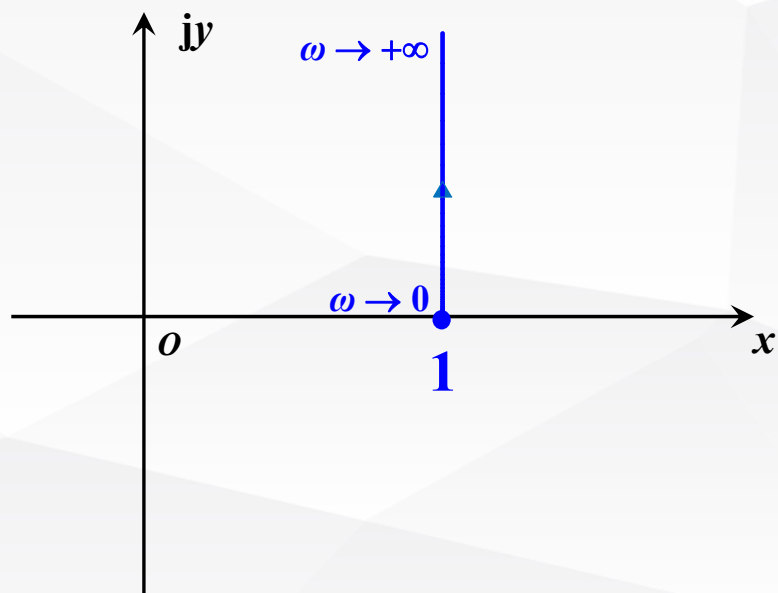
· 转折频率是一个重要的特征量,其在数值上等于极点的模,频率特性曲线的形状取决于转折频率的分布。

· 在低频段可以较好地复现信号,在高频段可以抑制噪声信号,因此一阶惯性环节具有低通滤波特性,其可以很好地跟踪恒定或变化缓慢的输入信号。

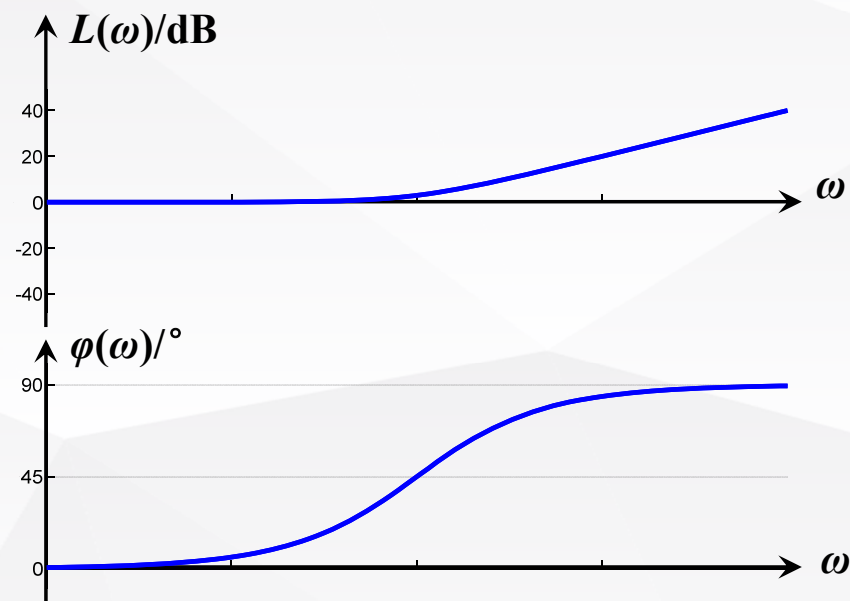
§ 5.2 频率特性的绘制

一阶微分环节

传递函数: $G(s) = Ts + 1$ 频率特性: $G(j\omega) = j\omega T + 1 = \sqrt{T^2\omega^2 + 1}e^{j\arctan\omega T}$



一阶微分环节奈奎斯特图

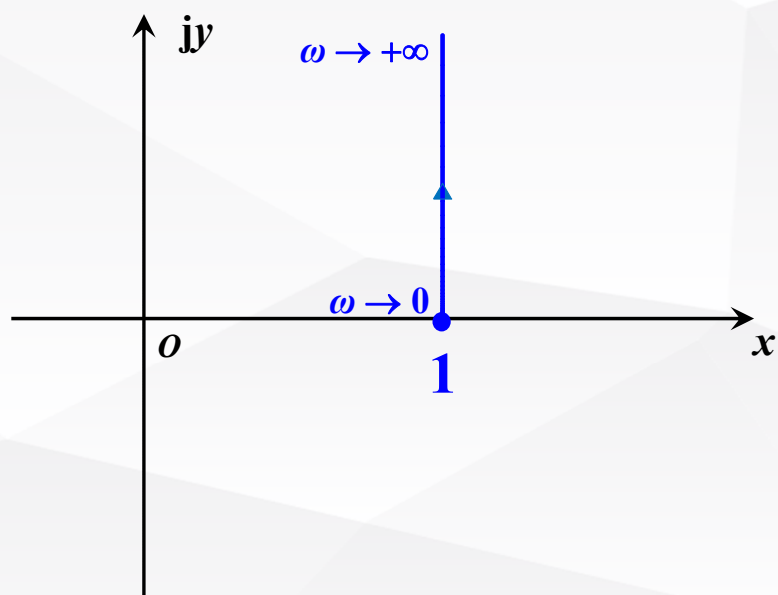


一阶微分环节Bode图

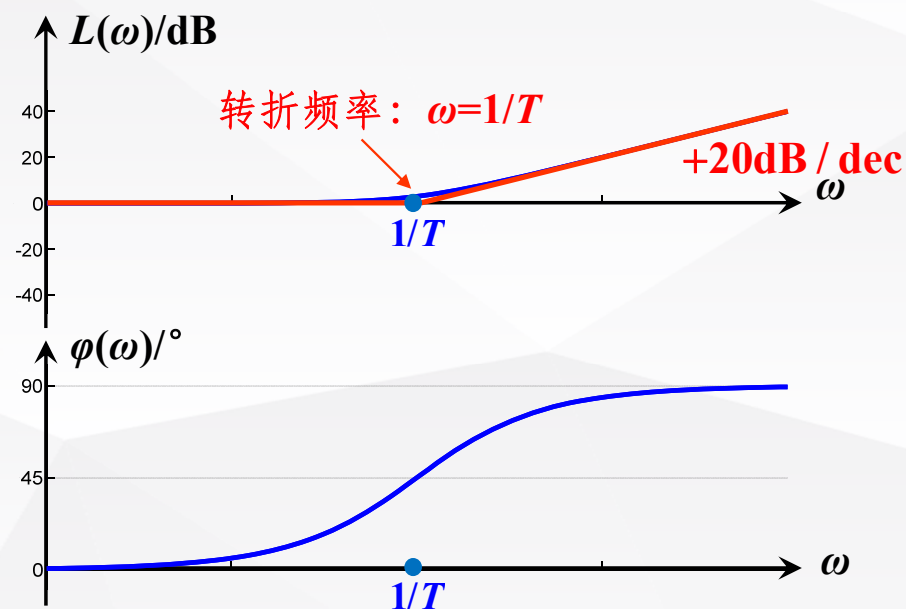
§ 5.2 频率特性的绘制

一阶微分环节

传递函数: $G(s) = Ts + 1$ 频率特性: $G(j\omega) = j\omega T + 1 = \sqrt{T^2\omega^2 + 1} e^{j \arctan \omega T}$



一阶微分环节奈奎斯特图



一阶惯性环节Bode图

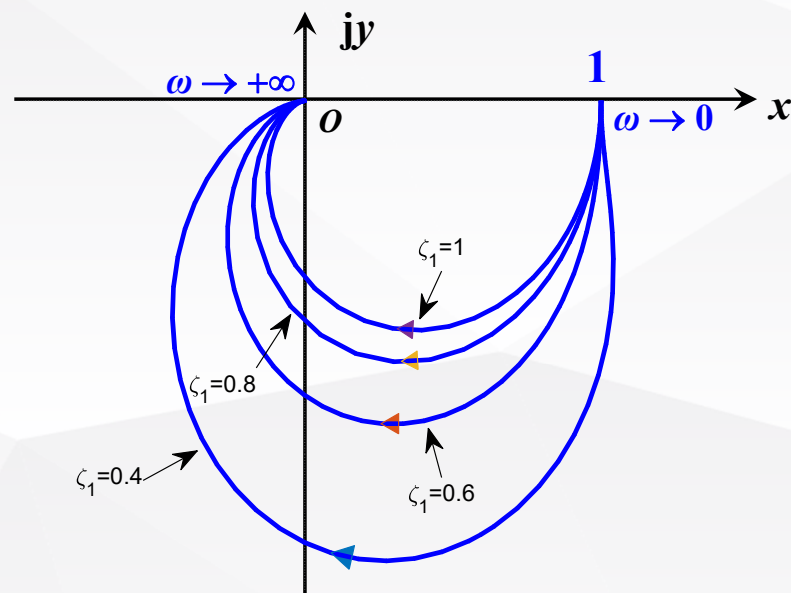
§ 5.2 频率特性的绘制

二阶振荡环节

传递函数:
$$G(s) = \frac{1}{T^2 s^2 + 2\zeta Ts + 1} = \frac{1/T^2}{s^2 + 2\zeta s/T + 1/T^2} = \frac{\omega_n^2}{s^2 + 2\zeta\omega_n s + \omega_n^2}$$

频率特性:

$$\begin{aligned} G(j\omega) &= \frac{1}{T^2 s^2 + 2\zeta Ts + 1} \Big|_{s=j\omega} = \frac{1}{(j\omega)^2 + 2\zeta(j\omega T) + 1} \\ &= \frac{1}{\sqrt{(1 - \omega^2 T^2)^2 + 4\zeta^2 \omega^2 T^2}} e^{-j\arctan \frac{2\zeta\omega T}{1 - \omega^2 T^2}} \\ &= \frac{1}{\sqrt{[1 - (\omega/\omega_n)^2]^2 + 4\zeta^2 (\omega/\omega_n)^2}} e^{-j\arctan \frac{2\zeta(\omega/\omega_n)}{1 - (\omega/\omega_n)^2}} \end{aligned}$$



二阶振荡环节奈奎斯特图

§ 5.2 频率特性的绘制

二阶振荡环节

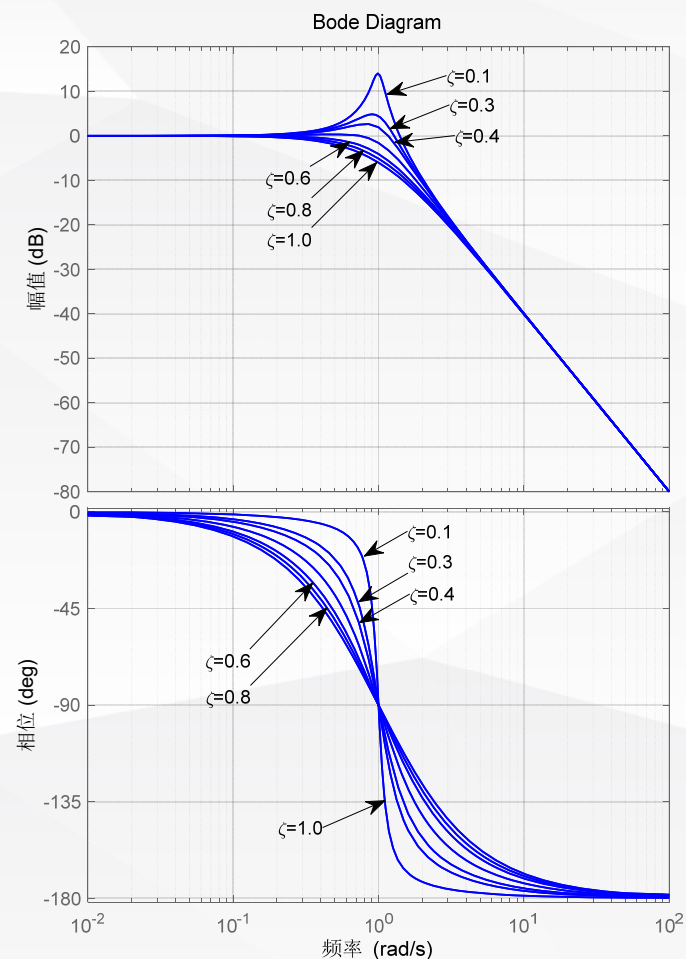
传递函数: $G(s) = \frac{1}{T^2 s^2 + 2\zeta Ts + 1} = \frac{\omega_n^2}{s^2 + 2\zeta\omega_n s + \omega_n^2}$

频率特性:

$$G(j\omega) = \frac{1}{\sqrt{[1 - (\omega/\omega_n)^2]^2 + 4\zeta^2 (\omega/\omega_n)^2}} e^{-j \arctan \frac{2\zeta(\omega/\omega_n)}{1 - (\omega/\omega_n)^2}}$$

谐振频率: $\omega_r = \omega_n \sqrt{1 - 2\zeta^2}, \quad \left(0 \leq \zeta \leq \frac{1}{\sqrt{2}}\right)$

谐振峰值: $M_r = \frac{1}{2\zeta\sqrt{1 - \zeta^2}}$



§ 5.2 频率特性的绘制

二阶振荡环节

传递函数: $G(s) = \frac{1}{T^2 s^2 + 2\zeta Ts + 1} = \frac{\omega_n^2}{s^2 + 2\zeta\omega_n s + \omega_n^2}$

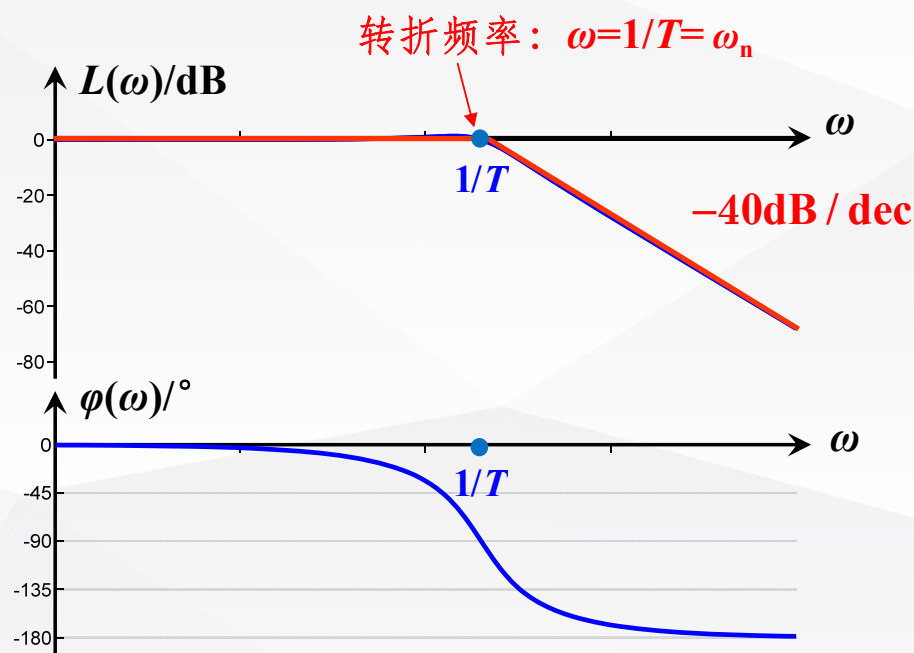
频率特性:

$$G(j\omega) = \frac{1}{\sqrt{[1 - (\omega/\omega_n)^2]^2 + 4\zeta^2 (\omega/\omega_n)^2}} e^{-j \arctan \frac{2\zeta(\omega/\omega_n)}{1 - (\omega/\omega_n)^2}}$$

闭环特征量:

ω_n 决定转折频率;

ζ 决定谐振频率附近形状及峰值大小。

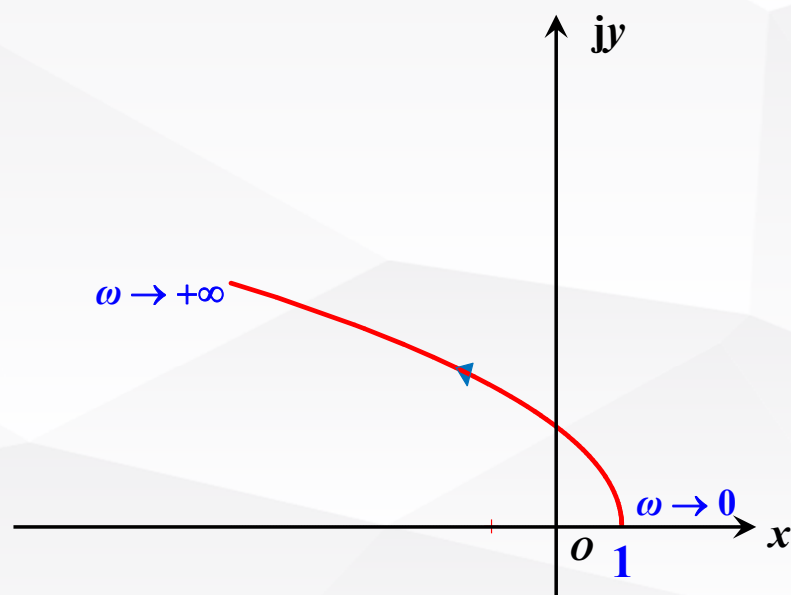


二阶振荡环节Bode图

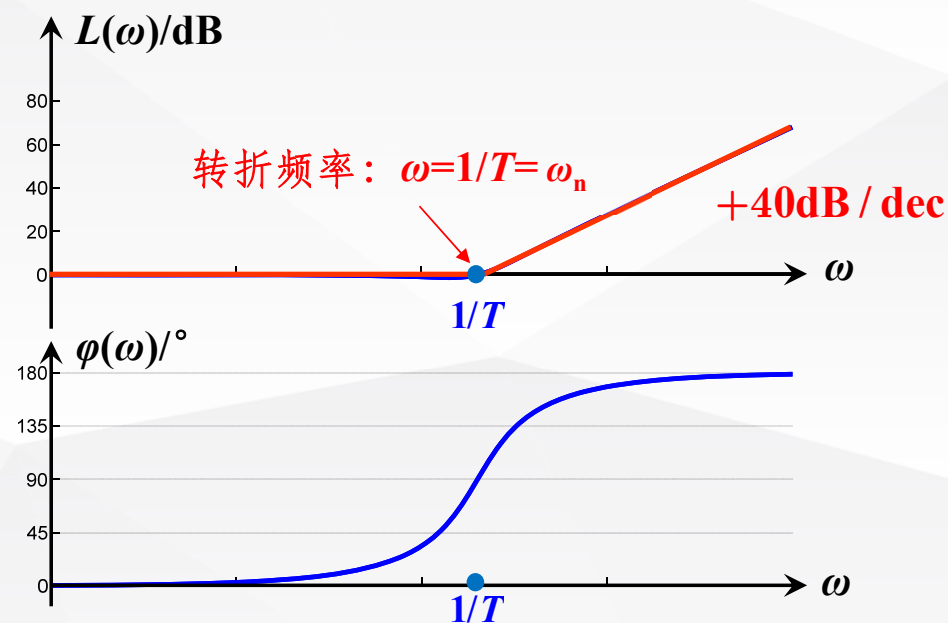
§ 5.2 频率特性的绘制

二阶微分环节

传递函数: $G(s) = T^2 s^2 + 2\zeta Ts + 1$ 频率特性: $G(j\omega) = \sqrt{(1 - T^2\omega^2)^2 + (2\zeta T\omega)^2} e^{j\arctan \frac{2\zeta T\omega}{1 - T^2\omega^2}}$



二阶微分环节奈奎斯特图



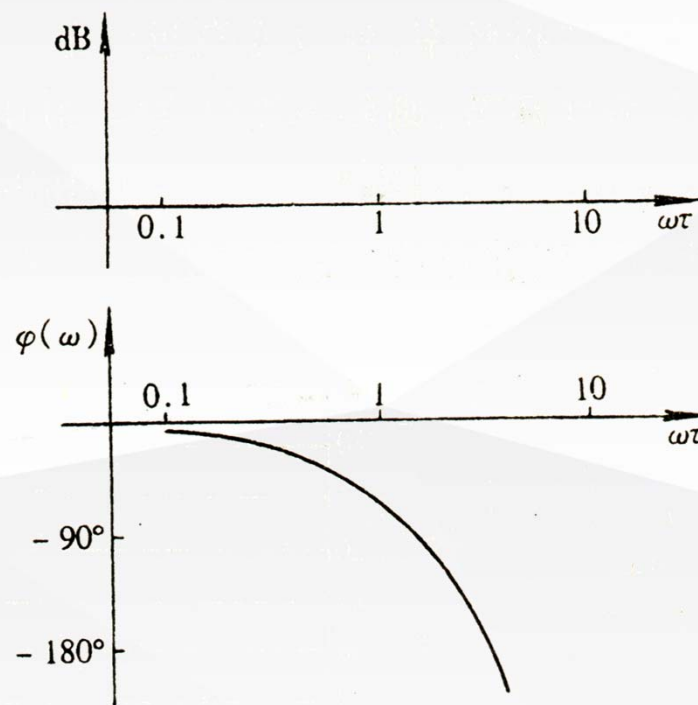
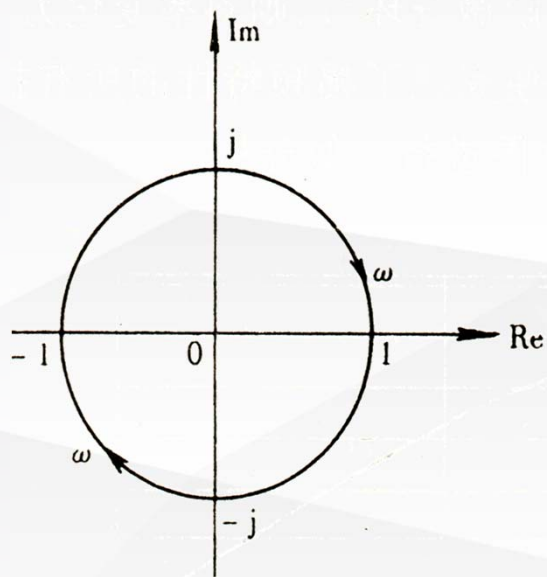
二阶微分环节Bode图

§ 5.2 频率特性的绘制

时滞环节

传递函数: $G(s) = e^{-\tau s}$

频率特性: $G(j\omega) = e^{-j\omega\tau}$



§ 5.2 频率特性的绘制

复杂系统频率特性的绘制

①将开环传递函数写成“尾1型”；

确定开环增益 K 和型号 ν ；

将各典型环节的转折频率由小到大依次表在频率轴上。

②绘制对数幅频特性曲线低频段渐近线：斜率为 $-20\nu\text{dB/dec}$ ，过点 $(1, 20\lg K)$ 。

③在低频段渐近线基础上，沿频率增大方向，每遇到一个转折频率改变一次斜率：

一阶惯性环节： -20dB/dec ， $0^\circ \sim -90^\circ$ ；

一阶微分环节： $+20\text{dB/dec}$ ， $0^\circ \sim +90^\circ$ ；

二阶振荡环节： -40dB/dec ， $0^\circ \sim -180^\circ$ ；

二阶微分环节： $+40\text{dB/dec}$ ， $0^\circ \sim +180^\circ$ ；

直至经过所有转折频率结束，最终对数幅频曲线渐近线斜率： $-20(n-m)\text{dB/dec}$ 。

§ 5.2 频率特性的绘制

复杂系统频率特性的绘制

④绘制对数相频特性曲线：

- 1) 低频段：相位 $- \nu 90^\circ$ ；
- 2) 转折频率处所有环节相角累加；
- 3) 用光滑的曲线连接；
- 4) 直至经过所有转折频率结束，最终对数相频曲线渐近线相位 $-(n-m) 90^\circ$ 。

§ 5.2 频率特性的绘制

例

$$G(s) = \frac{2500}{s(s+10)(s^2 + 5s + 25)}$$

化成标准形式：

$$G(s) = \frac{10}{s(0.1s+1)(0.04s^2 + 0.2s + 1)}$$

分成四个典型环节：

$$G_1(s) = 10, \quad G_2(s) = \frac{1}{s}, \quad G_3(s) = \frac{1}{0.1s+1}, \quad G_4(s) = \frac{1}{0.04s^2 + 0.2s + 1}$$

其转折频率为：5，10

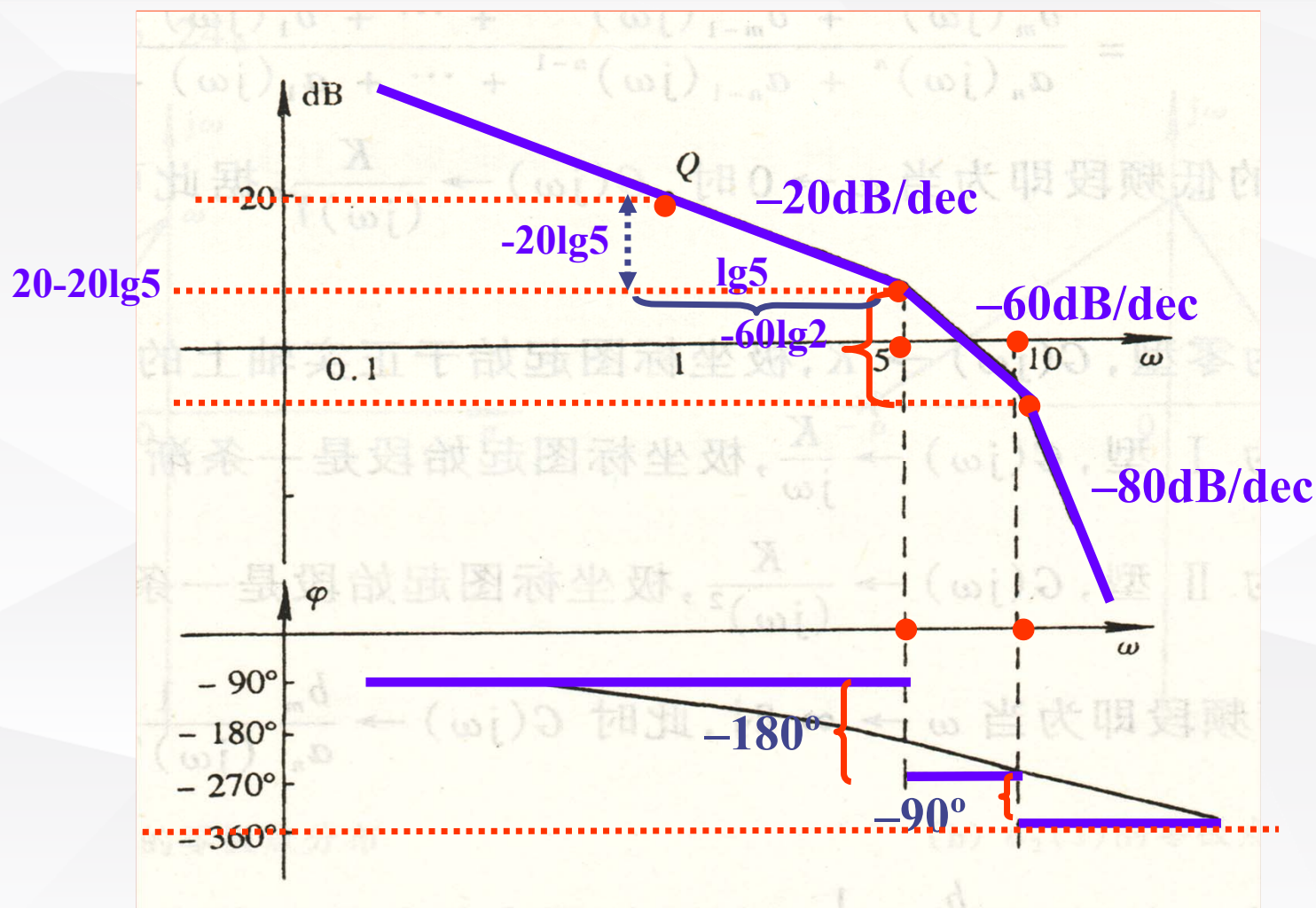


$$T_2 = 0.1$$



$$T_1 = 0.2$$

§ 5.2 频率特性的绘制

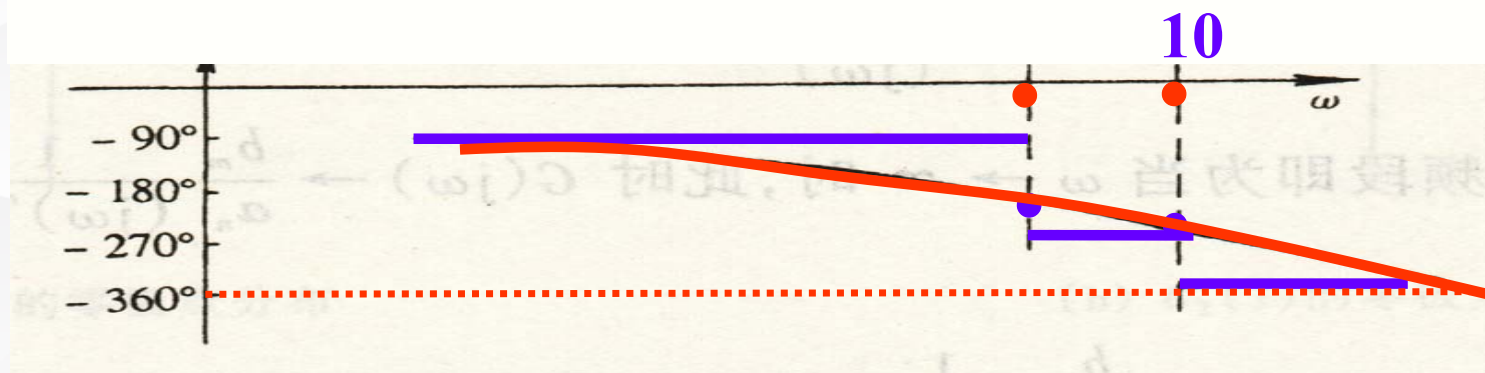


§ 5.2 频率特性的绘制

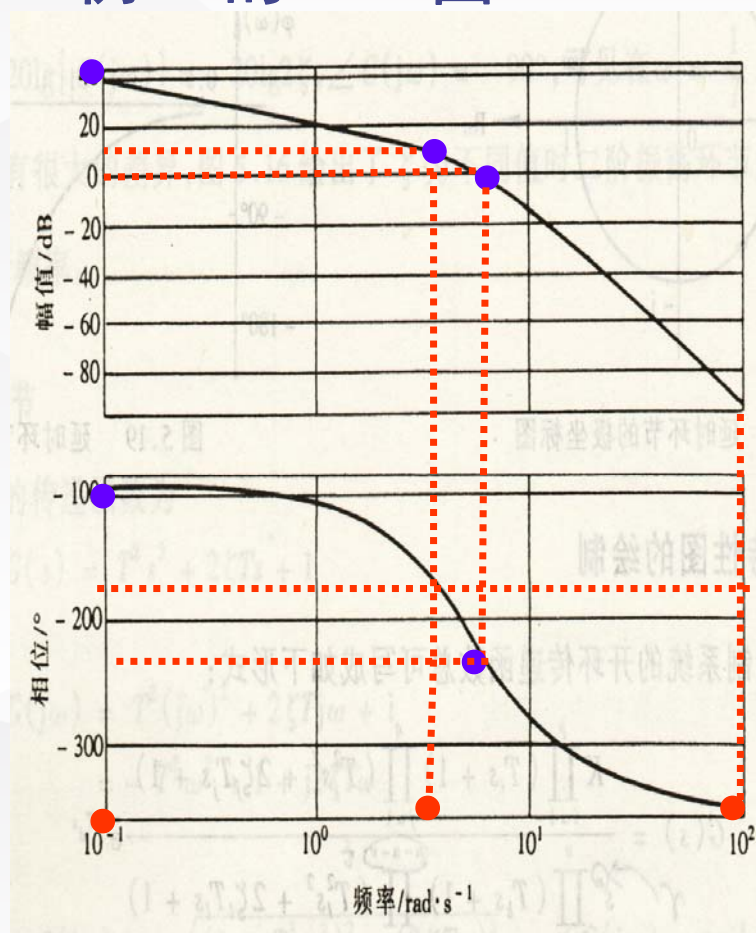
$$\varphi(\omega_1) = -90^\circ - \operatorname{arctg} \frac{2\zeta T_1 \omega_1}{1 - T_1^2 \omega_1^2} - \operatorname{arctg} T_2 \omega_1$$

$$= -90^\circ - 90^\circ - \operatorname{arctg} 0.5 = -206^\circ$$

$$\varphi(\omega_2) = -90^\circ - \operatorname{arctg} \frac{2\zeta T_2 \omega_2}{1 - T_2^2 \omega_2^2} - 45^\circ = -233^\circ$$



例5.2的Bode图



$|G(j\omega)|$

$+\infty$

>1

1

0

$\angle G(j\omega)$

-90°

-180°

$< -180^\circ$

-360°

ω

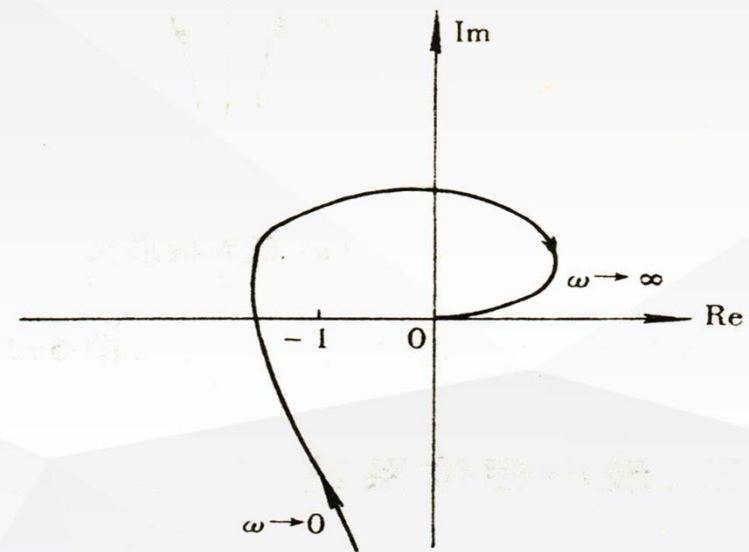
$\omega \rightarrow 0$

$\omega \rightarrow \infty$

Nyquist图的绘制

表 5.1

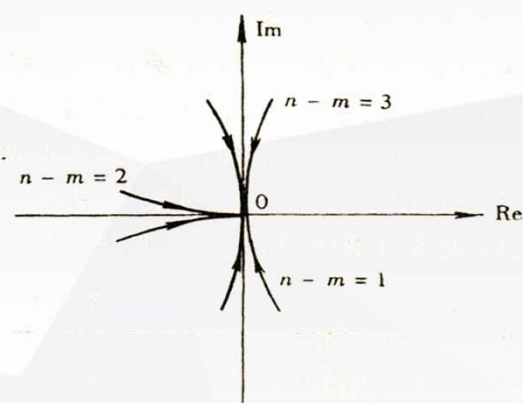
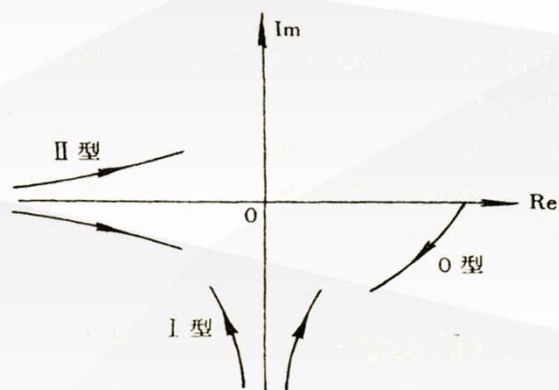
$ G(j\omega) $	$\angle G(j\omega)$	ω
$+\infty$	-90°	$\omega \rightarrow 0$
> 1	-180°	
1	$< -180^\circ$	
0	-360°	$\omega \rightarrow \infty$



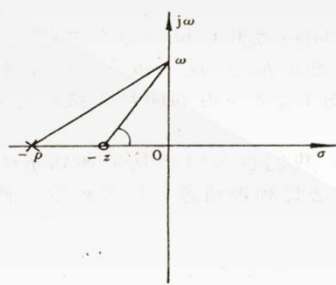
系统开环频率特性

$$G(j\omega) = \frac{K \prod_{i=1}^p (j\omega T_i + 1) \prod_{j=1}^q (-\omega^2 T_j^2 + 2j\zeta_j T_j \omega + 1)}{(j\omega)^r \prod_{k=1}^u (j\omega T_k + 1) \prod_{l=1}^{\frac{n-r-u}{2}} (-\omega^2 T_l^2 + 2j\omega \zeta_l T_l + 1)}$$

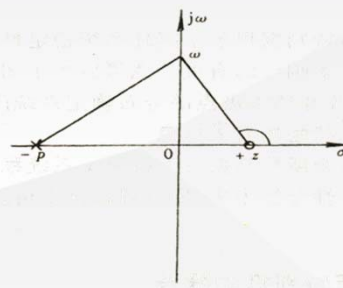
$$= \frac{b_m (j\omega)^m + b_{m-1} (j\omega)^{m-1} + \dots + b_1 (j\omega) + b_0}{a_n (j\omega)^n + a_{n-1} (j\omega)^{n-1} + \dots + a_1 (j\omega) + a_0}$$



最小相位系统



(a) $G_1(s)$ 的零极点分布



(b) $G_2(s)$ 的零极点分布

